

การสำรวจและศึกษาความสัมพันธ์ของพื้นที่ในการการค้าและระบบทางด่วน



นาย ราเยนทร์ สันติสุเมธี

007419

วิทยานิพนธ์นี้เป็นส่วนหนึ่งของการศึกษาตามหลักสูตรปริญญาวิศวกรรมศาสตร์มหาบัณฑิต

ภาควิชาวิศวกรรมโยธา

บัณฑิตวิทยาลัย จุฬาลงกรณ์มหาวิทยาลัย

พ.ศ. 2525

ISBN 974-561-028-3

17118694

A SURVEY OF GROUND VIBRATION LEVELS INDUCED
BY TRAFFIC ON THE EXPRESSWAY



Mr. Rachane Jantarasombat

A Thesis Submitted in Partial Fulfillment of the Requirements
for the Degree of Master of Engineering

Department of Civil Engineering

Graduate School

Chulalongkorn University

1982

หัวข้อวิทยานิพนธ์

การสำรวจระดับความสั่นสะเทือนของพื้นที่ในภาคการจราจร
บนทางด่วน

ชื่อนักศึกษา

นาย ราเมนทร์ สันติสุริมันตี

อาจารย์ที่ปรึกษา

รองศาสตราจารย์ ดร.สุประดิษฐ์ บุนนาค

ภาควิชา

วิศวกรรมโยธา

ปีการศึกษา

2524

บทคัดย่อ



การวิจัยเรื่องนี้มีจุดมุ่งหมายเพื่อสำรวจความสั่นสะเทือนของพื้นที่ในภาคการจราจร
บนทางด่วนตอนต้นแขวง-ท่าเรือ ความถี่และ peak particle velocity ที่รอดได้ จะใช้
เป็นตัวเปรียบเทียบกับความสั่นสะเทือนมาตรฐาน เพื่อหาผลกระทบต่อคนและสิ่งปลูกสร้าง

ในการเก็บข้อมูลใช้ Velocity transducer วัดความเร็วในแนวตั้งของผิว
หน้าดิน สัญญาณจาก velocity transducer จะปรากฏเป็นภาพบน oscilloscope
และบันทึกโดยกล้องถ่ายรูป

ผลการวัดระดับความสั่นสะเทือนจาก 10 จุดทดลองซึ่งวัดภายในระยะ 5 เมตร
จากทางด่วนทั้งสองฝั่งพบว่า ความถี่มีค่า 11.1-28.6 Hz. และ peak particle
velocities มีค่าประมาณ 0.01-0.37 mm/s ซึ่งความสั่นสะเทือนอยู่ในระดับที่คนเพียง
จะรับรู้ได้ แต่ยังอยู่ในชีดต่ำ ไม่สามารถทำความเสียหายต่อสิ่งปลูกสร้างได้ และได้ทำการ
วัดระดับความสั่นสะเทือนบนถนนวิภาวดี-รังสิต พบร่วมความถี่มีค่า 12.5-16.7 Hz. peak
particle velocity ที่ระยะ 5 เมตร มีค่า 0.02-0.42 mm/s และลดลงเหลือ
0.02-0.35 mm/s ที่ระยะ 10 เมตร จากข้อมูลนี้ ซึ่งความสั่นสะเทือนอยู่ในระดับที่คน
เพียงจะรับรู้ได้ และไม่ทำความเสียหายแก่สิ่งปลูกสร้าง นอกจานี้ได้ทำการวัดความสั่น-
สะเทือนเนื่องจากการรถไฟฟ้าติดกับทางด่วน พบว่าค่า peak particle velocity ถูกลดลง

ระยะ 5 เมตร ห่างจากฐานรถไถค่า เท่ากับ 1.46 mm/s ซึ่งค่ามีจังไม่เป็นส่าเหตุ
ของความเสียหายต่อสิ่งปลูกสร้างหรือทำความร้าวชำให้แก่คนแต่อย่างใด

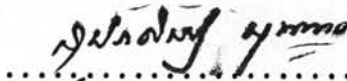
ในการวิสัยครั้งนี้ยังพบว่า เมื่อรถวิ่งบนถนนเรียบ ความเร็วมีอิทธิพลต่อความ
สั่นสะเทือนมากกว่าน้ำหนักบรรทุกของรถยนต์ และรถที่ทำให้เกิด peak particle
velocities สูงสุดเกือบทั้งหมดได้แก่ รถสิบล้อและรถโดยสารขนาดใหญ่ (รถบัส)

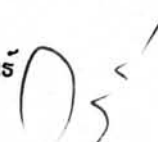


หัวข้อวิทยานิพนธ์ การสำรวจและศึกษาความสัมลະ เกี่ยวกับพื้นดินจากการจราจรบน
 ทางด่วน
 โดย นาย ราเย่นทร์ สันติสุขปิติ
 ภาควิชา วิศวกรรมโยธา
 อาจารย์ที่ปรึกษา รองค่าล่ตราการย์ ดร.สุประดิษฐ์ บุนนาค

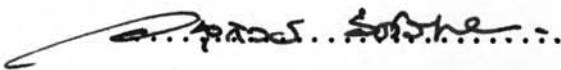


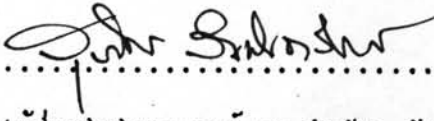
บังคับวิทยาลัย จุฬาลงกรณ์มหาวิทยาลัย อนุมัติให้นักวิทยานิพนธ์ฉบับนี้เป็นส่วน
 หนึ่งของภารกิจทางการศึกษาตามหลักสูตรปริญญามหาบัณฑิต


 คณบดีบังคับวิทยาลัย
 (รองค่าล่ตราการย์ ดร.สุประดิษฐ์ บุนนาค)

คณะกรรมการส่งบังคับวิทยานิพนธ์ 
 ประธานกรรมการ
 (รองค่าล่ตราการย์ ร.อ.เยี่ยร เต็งอ่อนวย)

..... กรรมการ กรรมการ
 (รองค่าล่ตราการย์ ดร.สุประดิษฐ์ บุนนาค)


 กรรมการ
 (รองค่าล่ตราการย์ อุบลรัตน์ วิคัรเล่นาฯ)


 กรรมการ
 (ผู้ช่วยค่าล่ตราการย์ ดร.สุรเดช สมพันธ์ราษฎร์)

..... กรรมการ
 (นาย ชวสิต สุขะวรธรรม)

Thesis Title A Survey of Ground Vibration Levels Induced
 by Traffic on The Expressway

Name Mr. Rachane Jantarasombat

Thesis Advisor Associate Professor Supadit Bunnag, Ph.D.

Department Civil Engineering

Academic Year 1981



ABSTRACT

The purpose of this research was to observe the ground vibrations which induced by traffic on the DINDAENG-PORT expressway. The measured frequencies and peak particle velocities were compared with the standard vibrations to find the effects on humans and structures.

In collecting data, velocity transducer was used to measure the vertical component of velocity of the ground surface. The signals from the velocity transducer were displayed on an oscilloscope and recorded by camera.

Vibration levels at 10 stations within a distance of about 5 meters from both sides of the expressway were measured. The results showed that most frequencies varied from 11.1-28.6 Hz, and peak particle velocities varied from about 0.01-0.37 mm/s. These values just reached about the threshold of human perception but they were still below the limit to cause any light damage to the



structures. The vibrations on the VIBRAVADI-RANGSIT road also measured. The results showed that frequencies varied from 12.5-16.7 Hz. The peak particle velocities at a distance of 5 meters varied from 0.02-0.42 mm/s and reduced to 0.02-0.35 mm/s at 10 meters from the edge of the road. These vibration levels were just perceptible to humans, and were far below the level to cause any damage. In addition, the measurements of vibration induced by train adjacent to the expressway were made. It was found that at a distance of 5 meters from the railway, the maximum peak particle velocity was equal to 1.46 mm/s. However, this value neither caused any damage to structures nor annoyed human beings.

It was also found in this research that when the vehicles traveled along a smooth road the speed was more dominant on ground vibrations than the weight of the vehicle, and most of the maximum peak particle velocities were induced by trucks (3-axle, 10-wheel) and buses (2-axle, 6-wheel).



กิติกรรมประภาค

ผู้เขียนขอแสดงความขอบคุณต่อ รองศาสตราจารย์ ดร.สุประดิษฐ์ บุนนาค
อาจารย์ที่ปรึกษา ยังกรุณาให้ความรู้และคำแนะนำอีกเป็นประจำอยู่เสมอมา ก่อต่อการวิสัย
รองศาสตราจารย์ วิเชียร เติงอ่วมวะ รองศาสตราจารย์ อุบลรัตน์ วิศรันต์ ฯ ผู้ช่วย-
ศาสตราจารย์ ดร.สุรเดช สมพันธ์ราษฎร์ และคุณ ชวасิต สุขะวรธรรม คุณกรรมการตรวจสอบ
สอบวิทยานิพนธ์ที่ร่วมพิจารณาตรวจสอบแก้ไขวิทยานิพนธ์ให้สมบูรณ์ยิ่งยืน

ผู้เขียนขอแสดงความขอบคุณต่อ คณบดีวิทยาศาสตร์ จุฬาลงกรณ์มหาวิทยาลัยและ
สถาบันเทคโนโลยีแห่งเอเชียที่ให้ยืมอุปกรณ์และเครื่องมือต่าง ๆ ที่ใช้ในการวิสัย

ผู้เขียนขอแสดงความขอบคุณต่อ คุณอภิวัฒน์ กฤชจะพันธ์ และคุณปริญา วงศ์วิไล
ที่มีส่วนช่วยเหลือในการเก็บข้อมูลครั้งนี้ ตลอดจนผู้ที่มีได้กล่าวนาม ยังต่างก็มีส่วนช่วยงาน
นี้กันทุกคน จึงขอขอบคุณมา ณ โอกาสนี้ด้วย

ผู้เขียนขอแสดงความขอบคุณต่อ การทางพิเศษแห่งประเทศไทย ยังให้ทุนอุดหนุน
การวิสัยครั้งนี้

ท้ายนี้ คุณค่าความต้องการวิทยานิพนธ์นี้ถ้ามีอยู่บ้าง ยอมอภัยให้บุพการ์ได้ช่วยเหลือ
ทุกวิถีทางในการส่งเสริมการศึกษาและให้กำลังใจแก่ผู้เขียนมาโดยตลอด จนกระทำการ-
วิสัยนี้สำเร็จคล่องไว้ด้วยดี

ราเยนทร์ สันทรงสุมปติ



สารบัญ

	หน้า
บทศัพท์อังกฤษ-ไทย	๙
บทศัพท์ไทย-อังกฤษ	๑๐
กิจกรรมประจำภาค	๑๔
รายการตารางประจำปี	๑๕
รายการรูปประจำปี	๑๖
สัญลักษณ์	๑๗
บทที่ ๑ บทนำ	๑
1.1 ความเป็นมาและความสำคัญของปัญหา	๑
1.2 รดทุประลังค์การวิศว	๓
1.3 สิ่งที่ต้องการทราบ	๓
1.4 วิธีดำเนินการวิศว	๓
1.5 ประโยชน์ที่คาดว่าจะได้จากการวิศว	๔
บทที่ ๒ ทบทวนวรรณคดี	๖
2.1 ระบบทางค์วอนด์เคิล	๖
2.2 ผลงานและงานวิศวที่เกี่ยวข้อง	๙
2.3 ธรรมชาติของคลื่น	๑๐
2.4 การแผ่นดินไหว (Propagation of waves) ใน Elastic Half-Space	๑๕
2.5 การเกิด การลื่นผ่าน ของความสัมประสิทธิ์เกิดขึ้นเมื่อ จากภาระของสถาณท์	๒๔

	หน้า
บทที่ ๓ ผลกระทบของความสั่นสะเทือนต่อสิ่งแวดล้อม	30
3.1 ผลกระทบของความสั่นสะเทือนที่มีต่อคน	30
3.2 ผลกระทบของความสั่นสะเทือนที่มีต่อเครื่องมือในห้องทดลอง	53
3.3 ผลกระทบของความสั่นสะเทือนที่มีต่อสิ่งปลูกสร้าง	55
3.4 สรุปปฎิกริยาของคนและความเสียหายของสิ่งปลูกสร้าง เนื่องจากความสั่นสะเทือน	67
บทที่ ๔ วิธีดำเนินการทดลอง	71
4.1 เครื่องมือที่ใช้ในการทดลอง	71
4.2 การติดตั้งเครื่องมือเพื่อรักษาความสั่นสะเทือน	74
4.3 ขั้นตอนในการทดลอง	74
4.4 หลักเกณฑ์ในการเก็บข้อมูล	78
4.5 รายละเอียดของลักษณะที่ทำการวัดระดับความสั่นสะเทือน	79
4.6 การเก็บข้อมูล การตีความหมาย และการวิเคราะห์ ข้อมูล	101
บทที่ ๕ ผลการวิเคราะห์ข้อมูล การอภิปรายผล การสรุปผล	108
5.1 ผลการวิเคราะห์ข้อมูล	108
5.2 การอภิปรายผล	151
5.3 การสรุปผล	155
เอกสารอ้างอิง	158
ประวัติผู้เขียน	163

รายการตารางประภกอบ

หน้า

ตาราง

2.1 แลดองความเร็วของ P-waves และ S-waves ในดิน	
ชุดคต่าง ๆ กัน (จาก Barkan 1962)	21
2.2 ค่าโดยประมาณของสัมประสิทธิ์ของการอุดซึมคลื่น,	
α ของดินชุดคต่าง ๆ (จาก Barkan 1962).....	25
3.1 แลดองการคำนวณค่า K ของ Dieckmann	
40	
3.2 แลดองการแบ่งค่า K ของ DIN 4025	
40	
3.3 แลดองการแบ่งค่า K ของ DIN 4150	
41	
3.4 แลดองค่า K ที่ยอมให้ได้ในลักษณะต่าง ๆ	
41	
3.5 แลดองการเปรียบเทียบค่าของสัมประสิทธิ์ซึ่งทำให้อยู่	
ไม่ส่วนมากของข้อกำหนดระบบต่าง ๆ	44
3.6 แลดองการแบ่งระดับความสั่นลະเกือนในหน่วย Pal	
(Zeller)	48
3.7 แลดองการเปรียบเทียบระดับความสั่นลະเกือนใน	
มาตรฐานต่าง ๆ	48
3.8 แลดองผลกระทบของความสั่นลະเกือนต่อเครื่องมือ	
ทดลอง	56
3.9 แลดองผลกระทบของความสั่นลະเกือนต่อเครื่องมือ	
ทดลองบางชุด	57

ค่าทาง	หน้า
3.10 แล็ตค่าร์มปลิวตสูงสุดที่บ่อนให้เกิดขึ้นได้สําหรับสี	
ปลอกลําร้างขีดต่าง ๆ	62
3.11 แล็ตค่าร์มปลิวตสูงสุดที่บ่อนให้เกิดขึ้นได้สําหรับสี	
ปลอกลําร้างขีดต่าง ๆ (ปรับปรุงจากตาราง 3.10) ..	62
3.12 แล็ตค่าการเปรียบเทียบค่าร์มปลิวตสูงสุดที่บ่อนให้เกิดขึ้นได้	
ของข้อกําหนดรูปแบบต่าง ๆ	63
3.13 แล็ตค่าการเปรียบเทียบระหว่างความสัมประสิทธิ์ในรูปของ	
ความเร่งและพลังงาน	63
3.14 แล็ตค่าการเปรียบเทียบผลกรายหบของความสัมประสิทธิ์	
ต่อคนและสั่งปลอกลําร้างของข้อกําหนดรูปแบบต่าง ๆ ...	65
3.15 รวบรวมปฏิกริยาของคนและความเสียหายของสี	
ปลอกลําร้างต่อความสัมประสิทธิ์ที่เกิดจากการกระชาก	
ของรถยนต์	70
4.1 การแบ่งขีดของรถยนต์	80
4.2 แล็ตค่ารายละเอียดลักษณะที่และตำแหน่งที่ติดตัว	
Velocity transducer บนทางด่วนตอน	
ติดแตง - ท้าเรอ	87
4.3 แล็ตค่ารายละเอียดลักษณะที่และตำแหน่งที่ติดตัว	
Velocity transducer บนถนน	
วิภาวดี - รัชสิต	99
4.4 สัญญาณที่ใช้แทนขีดของรถยนต์ที่แล็ตค่าวินผลการทดลอง	
บนทางลํานายวิภาวดี - รัชสิต	100

4.5 แล็ตองตัวอย่างการหาค่าความสัมพันธ์ของปริมาณต่าง ๆ (f, ϕ, v, A, a) (สถานที่ทดลอง : บริเวณไฟล์ติดน้ำแข็ง)	107
5.1 ลรุปผลการทดลองวัดความสัมประสิทธิ์ของหินเดื่องจาก การกระจายของรอยนํ้าบนทางด่วนตอนติดน้ำแข็ง - ท่าเรือ ..	110
5.2 ลรุปผลการทดลองวัดความสัมประสิทธิ์ของหินเดื่องจาก การกระจายของรอยไฟ	127
5.3 ลรุปผลการวัดความสัมประสิทธิ์ของหินเดื่องจากการ กระจายของรอยนํ้าบนทางล้ายวิภาวดี - รังสิต	131

รายการข้อปะประกอบ

ข้อ	หน้า
2.1 แปลนทางด้านตอนต้นแดง-ท่าเรือ	7
2.2 แสดงการเคลื่อนที่ของคลื่นแบบอาร์โนมิก	12
2.3 แสดงการเคลื่อนที่ของคลื่นขยาย	14
2.4 แผนภูมิแสดงความสัมพันธ์ระหว่างวัสดุก่อสร้าง ความเร็ว ความแข็ง และความถี่	16
2.5 แสดงการกระจายของ displacement waves จากการเขย่าฐาน รากษิตาทางกลมบน homogeneous, isothopic, elastic half- space (จาก Woods, 1968)	18
2.6 แสดงความสัมพันธ์ระหว่าง Poisson's ratio, P-waves, S-waves และ R-waves ใน semi-infinite elastic medium (จาก Richart, 1962)	23
2.7 แสดงผลการทดลองของ Bakan เพื่อตรวจล้อบล่มการ 2.8 และ 2.9 โดยใช้ vertical amplitude, A_v เป็นศักยภาพเดียว ...	25
3.1 ผลกระทบของความสั่นลະเก็บอนในแนวตั้งต่อความรู้สึกของคน (Reiher-Meister)	33
3.2 ผลกระทบของความสั่นลະเก็บอนในแนวตั้งต่อความรู้สึกของคน (Reiher-Meister)	34
3.3 ผลกระทบของความสั่นลະเก็บอนในแนวตั้งต่อความรู้สึกของคน (Reiher-Meister)	35
3.4 แสดงค่า K ของ Dieckmann สหระบบความสั่นลະเก็บอนในแนวตั้ง ...	36
3.5 แสดงค่า K ของ Dieckmann สหระบบความสั่นลະเก็บอนในแนวราบ ..	37

ขบ	หน้า
3.6 แล็ตงค่า K ของ Dieckmann สำหรับความสั่นลະเก็บอนในแนวตั้ง ...	38
3.7 แล็ตงค่า K ของ Dieckmann (DIN 4150)	42
3.8 แล็ตงผลเฉลี่ยของระดับความสั่นลະเก็บอนที่ทำให้อยู่ไม่ลับาย	45
3.9 แล็ตงค่าของความสั่นลະเก็บอนในหน่วย "Vibrar"	47
3.10 แล็ตงช่วงของความสั่นลະเก็บอนต่อความรู้สึกของคน (Goldman) ...	50
3.11 แล็ตงช่วงของความสั่นลະเก็บอนต่อความรู้สึกของคน (Goldman) ...	51
3.12 แล็ตงช่วงของความสั่นลະเก็บอนต่อความรู้สึกของคน (Wright and Green)	52
3.13 แล็ตงช่วงของความสั่นลະเก็บอนต่อความรู้สึกของคน (Janeway) ...	54
3.14 แล็ตงช่วงของความสั่นลະเก็บอนที่มีผลกระแทกต่อสิ่งปลูกสร้าง	68
4.1 แล็ตงรูปถ่ายของ Velocity transducer	72
4.2 แล็ตงการติดตั้งเครื่องมือสำหรับ Calibration velocity transducer (ழุษิติ บุญนาค) ⁽³⁹⁾	72
4.3 Calibration curve ของ velocity transducer.....	75
4.4 รูปถ่าย Oscilloscope	76
4.5 แล็ตงรูปถ่ายอุปกรณ์การทดสอบห้องทึบ	76
4.6 รูปวัดการติดตั้ง เครื่องมือวัดความสั่นลະเก็บอนของพื้นดินในลักษณะ ...	77
4.7 แล็ตงรูดูกทดสอบวัดความสั่นลະเก็บอนของพื้นดินบนทางด่วนตอน ตีนแตง-ท่าเรือ	82
4.8 แล็ตงรูปถ่ายของภายนอกห้องทดลองแพลตตีนแตง	84
4.9 แล็ตงรูปถ่ายของทางด่วนในส่วนที่อยู่ติดกับห้องทดลองร่วมกับร่วมกับ 1 ...	84
4.10 แล็ตงรูปตัดของทางด่วนในส่วนที่ติดกับพื้นดิน	85

รูป	หน้า
4.11 แสดงรูปตัวที่นำไปของทางด้านในล้วนที่บ่อกะตับ	86
4.12 แสดงรูปถ่ายการวัดความสั่นสะเทือนบนรั้วบ่อเวณแฟลตตินແຕງ	89
4.13 แสดงการวัดความสั่นสะเทือนเมื่อ velocity transducer อยู่ติดเสาบริเวณล่างถังไห้แกกจะสั่น	89
4.14 แสดงการวัดความสั่นสะเทือนบริเวณทางแยกถนนเพชรบุรี	90
4.15 แสดงการติดตั้ง velocity transducer บริเวณถนนเพชรบุรี ที่ระยะ 1.5 ม. จากเสา	90
4.16 แสดงการวัดความสั่นสะเทือนโดยการติดตั้ง velocity transducer บนรั้วบ่อชั่วคราวมุ่ง 1	90
4.17 แสดงการวัดความสั่นสะเทือนโดยการติดตั้ง velocity transducer บนคอนกรีตที่ขอบทางบ่อเวณแฟลตบ่อโคนไก่	91
4.18 แสดงรูปแปลนถนนล่างวิภาวดี-รังสิต และคุณศักดิ์ตั้งเครื่องมือทดสอบ ..	94
4.19 แสดงรูปตัดถนนล่างวิภาวดี-รังสิตช่วง รังสิต-ตอนเมือง	95
4.20 แสดงรูปตัดถนนล่างวิภาวดี-รังสิตช่วง ตอนเมือง-ลาดพร้าว	96
4.21 แสดงรูปตัดถนนล่างวิภาวดี-รังสิตช่วง ลาดพร้าว-ตินແຕງ	97
4.22 รูปถ่ายบริเวณผ่านชั้นรากไม้ต้นเตอร์เนย์นแมล	98
4.23 รูปถ่ายของสถานที่ทดลองที่ร้านโกเกะสังก่ำวยเตี๋ยวเรือ	98
4.24 แสดงรูปถ่ายคลื่นความสั่นสะเทือนเมื่อจักรกลลิบล็อ	102
4.25 แสดงรูปถ่ายคลื่นความสั่นสะเทือนเมื่อจักรกลบล็อ	101
4.26 แสดงรูปถ่ายคลื่นความสั่นสะเทือนเมื่อจักรกลบล็อ	102
4.27 แสดงรูปถ่ายคลื่นความสั่นสะเทือนเมื่อจักรกลนั่ง	102
5.1 ระดับความสั่นสะเทือนที่รับได้บริเวณแฟลตตินແຕງ	111
5.2 ระดับความสั่นสะเทือนที่รับได้บริเวณล่างถังไห้แกกจะสั่น	112

ขบ	หน้า
5.3 ระดับความสั่นสะเทือนที่รู้ดได้บกเวณภูมิประเทศ 113	
5.4 ระดับความสั่นสะเทือนที่รู้ดได้บกเวณภูมิภาค 115	
5.5 ระดับความสั่นสะเทือนที่รู้ดได้บกเวณชัยภูมิ 1 116	
5.6 ระดับความสั่นสะเทือนที่รู้ดได้บกเวณแฟลตชาววัง 118	
5.7 ระดับความสั่นสะเทือนที่รู้ดได้บกเวณแฟลตบ่อนไก' 119	
5.8 ระดับความสั่นสะเทือนที่รู้ดได้บกเวณภูมิประเทศ 120	
5.9 ระดับความสั่นสะเทือนที่รู้ดได้บกเวณตลาดปันแข็งใหม่ 121	
5.10 ระดับความสั่นสะเทือนที่รู้ดได้บกเวณคลองเตย 122	
5.11 ระดับความสั่นสะเทือนที่รู้ดได้เนื่องจากภาระของรถไฟฟ้ายาน กันทางด่วน 128	
5.12 ระดับความสั่นสะเทือนที่รู้ดได้เนื่องจากภาระของรถไฟฟ้าบกเวณ รายวิถี 129	
5.13 ระดับความสั่นสะเทือนที่รู้ดได้ที่ร้านโกเกลสิงก์วายเตี้ยวาร์อ 132	
5.14 ระดับความสั่นสะเทือนที่รู้ดได้ที่บรรษักษาดินเนอร์เนย์นแนล 134	
5.15 ระดับความสั่นสะเทือนที่รู้ดได้ที่เขตการทางกรุงเทพฯ 135	
5.16 ระดับความสั่นสะเทือนที่รู้ดได้ที่บรษักษาบินอินช้อย 136	
5.17 ระดับความสั่นสะเทือนที่รู้ดได้ที่กองบัญชาการตำรวจภูธร 1 137	
5.18 ระดับความสั่นสะเทือนที่รู้ดได้ที่บรษักการบินไทย 138	
5.19 ระดับความสั่นสะเทือนที่รู้ดได้ที่ นสพ. ไทยรัฐ 139	
5.20 แล็ตจการเปรียบเทียบผลกระทบของระดับความสั่นสะเทือนที่มีต่อคน ซึ่งรู้ดได้ที่ทางด่วนตอนต้นเดง-ท่าเรือ 142	
5.21 แล็ตจการเปรียบเทียบผลกระทบของระดับความสั่นสะเทือนที่มีต่ออาคาร และศูนย์กลางธุรกิจซึ่งรู้ดได้ที่ทางด่วนตอนต้นเดง-ท่าเรือ 145	

รูป

หน้า

5.22 แลดูงการเปรียบเทียบผลกราฟของระดับความสั่นลະ เทือนกีฬมต่อคน ซึ่งรู้ได้ที่ทางล่ายวิภาวดี-รังสิต	147
5.23 แลดูงการเปรียบเทียบผลกราฟของระดับความสั่นลະ เทือนกีฬมต่อ อาคารและสิ่งปลูกสร้างซึ่งรู้ได้ที่ทางล่ายวิภาวดี-รังสิต	148
5.24 แลดูงการเปรียบเทียบผลกราฟของระดับความสั่นลະ เทือนกีฬมต่อ อาคารและสิ่งปลูกสร้างซึ่งรู้ได้จากการจราจรของรถให้ข้างทางด่วน.	149
5.25 แลดูงการเปรียบเทียบผลกราฟของระดับความสั่นลະ เทือนกีฬมต่อคน ซึ่งรู้ได้จากการจราจรของรถให้กีร์ข้างทางด่วน	150



ສັນຍຸສັກຍົດ



ກມ.	ກິໂລເມຕຣ
ຍ່ມ.	ຢ້າໂມນ
ມ.	ເມຕຣ
ມມ.	ມິລິລິເມຕຣ
a	ຄວາມເຮັງ
A	ອັນປລິຈູດ
A_0	ອັນປລິຈູດທີ່ຮະບະ r_0 ຈາກຈຸດກຳເນີດຄວາມສັ່ນລະເທືອນ
A_r	ອັນປລິຈູດທີ່ຮະບະ r ຈາກຈຸດກຳເນີດຄວາມສັ່ນລະເທືອນ
A_v	ອັນປລິຈູດໃນແນວຕິ່ງ
E	ໂນໂຄສລະຍືດຫຼຸ່ມ
f	ຄວາມຖີ່
g	ຄວາມເຮັງ
G	Lame's constant
Hz.	ຄວາມຖີ່ເປັນ Hertz (ຮອບ/ວິນາທີ)
K	Dieckmann's value
K_1	ຄໍາຄົງທີ່
m	ເມຕຣ
mm	ມິລິລິເມຕຣ
P-wave	compression wave
r	ຮະບະໜ່າງຈາກຈຸດກຳເນີດຄວາມສັ່ນລະເທືອນເກົ່າກັບ r
r_0	ຮະບະໜ່າງຈາກຈຸດກຳເນີດຄວາມສັ່ນລະເທືອນເກົ່າກັບ r_0
R-wave	Rayleigh wave

S	วินาที (Second)
S	ระยะทางจากขอบสนามถึงจุดวัดความสั่นลະเกิด
S-wave	Shear wave
t	เวลา (time)
T	คาบเวลา (Period)
u, v, w	Elastic displacement ตามแกน x,y,z ตามลำดับ
v	อัตราเร็วคลื่น, ความเร็วคลื่น (wave velocity)
v	peak particle velocity
v_p	Compression wave velocity
v_r	Rayleigh wave velocity
v_s	Shear wave velocity
z	รัมป์สิรุต ณ ตำแหน่งใด
\dot{z}	ความเร็ว
\ddot{z}	ความเร่ง
Z	Zeller's power
Z_i	Threshold value ($50 \text{ mm}^2/\text{s}^3$)
α	สัมประสิทธิ์การถูกซึมคลื่น
γ	ความแน่น
Δ	Cubical dilatation
∇	Laplace operator
$\epsilon_x, \epsilon_y, \epsilon_z$	Unit elongation in x, y, z directions
λ	Lame's constant
λ	ความยืดหยุ่นคลื่น, ความยืดหยุ่น
ϕ	ค่าคงที่ของเพลส
ω	ความถี่เชิงมุม (angular frequency)
ν	Poisson's ratio

